Corrigé du concours général

Dominique CHARDON et les membres du Jury

I. ORIGINE DE L'EXISTENCE DE L'INDICE DE RÉFRACTION D'UN MATÉRIAU

A. Modèle d'atome hors équilibre.

1. RFD
$$m\ddot{x} = -m\omega_0^2 x$$
 $\ddot{x} + \omega_0^2 x = 0$

2. a. Solution générale :
$$x(t) = A \cos(\omega_0 t + \phi)$$
,

$$\dot{x}(t) = -A\omega_0 \sin(\omega_0 t + \varphi)$$

$$\begin{cases} x(0) = A \cos \varphi = 0 \\ \dot{x}(0) = -A \omega_0 \sin \varphi = 0 \end{cases}$$

on peut choisir $A=x_0$ $\phi=0$ $x(t)=x_0\cos\omega_0 t$.

b.
$$E_p(x_2) - E_p(x_1) = -\int_{x_2}^{x_1} m\omega_0^2 x dx = \frac{m\omega_0^2}{2} (x_2^2 - x_1^2)$$

$$E_p = \frac{m\omega_0^2}{2} x^2$$

en choisissant $E_p = 0$ pour x = 0.

c.
$$E = E_p + E_c = \frac{1}{2} m\omega_0^2 x^2 + \frac{1}{2} m \dot{x}^2 = \frac{1}{2} m \omega_0^2 x_0 \cos^2 \omega_0 t$$

 $+ \frac{1}{2} m \omega_0^2 x_0^2 \sin^2 \omega_0 t$

$$E = \frac{1}{2} m\omega_0^2 x_0^2$$

B. Freinage dû au rayonnement

1. A
$$t=0$$
 vitesse nulle $E_c=0,\; E=E_p=\frac{1}{2}\,m\omega_0^{\,2}\,x_0^{\,2}=W_0$

- L'énergie totale diminue au cours du temps à cause des pertes par rayonnement.
 - Mouvement oscillatoire amorti.

3.
$$\frac{dW}{dt} = -P_u = -\frac{q^2 \ \omega^4 \ x_m^2}{12 \ \pi \ \epsilon_0 \ c^3} \ si \ le \ modèle \ précédent \ est \ approximativement valable
$$W \approx \frac{1}{2} \ m \ \omega^2 \ x_m^2$$

$$donc \quad \frac{dW}{dt} = \frac{q^2 \ \omega^2}{6\pi \epsilon_0 c^3 m} \ W \quad de \ la \ forme \quad \frac{dW}{dt} + \frac{W}{\tau} = 0$$

$$avec \ \tau = \frac{6\pi \epsilon_0 mc^3}{q^2 \omega^2} = W_0 \ e^{-t/\tau} \ avec \ la \ CI : \ W(0) = W_0$$

$$\tau = \frac{1,60 \ 10^{23}}{\omega^2} \ , \ \tau \ en \ seconde \ \omega \ en \ rad. \ s^{-1}$$$$

4. a.
$$m \gamma v$$
 est une force : $m \gamma v \equiv M L T^{-2}$ $v \equiv L T^{-1}$ $\gamma \equiv [T]^{-1}$

b.
$$m\ddot{x} = -m\omega_0^2 x - m\gamma \dot{x} \quad car \overrightarrow{v} = \dot{x} \overrightarrow{i}$$
$$\ddot{x} + \gamma \dot{x} + \omega_0^2 x = 0$$

5.
$$a$$
.
$$x = A e^{-\frac{\gamma t}{2}} \cos(\Omega t + \phi)$$

$$\dot{x} = A e^{-\frac{\gamma t}{2}} \left[-\frac{\gamma}{2} \cos(\Omega t + \phi) - \Omega \sin(\Omega t + \phi) \right]$$

$$\ddot{x} = A e^{-\frac{\gamma t}{2}} \left[\frac{\gamma^2}{4} \cos(\Omega t + \phi) - \frac{\Omega \gamma}{2} \sin(\Omega t + \phi) + \frac{\Omega \gamma}{2} \sin(\Omega t + \phi) - \Omega^2 \cos(\Omega t + \phi) \right]$$

$$\ddot{x} = A e^{-\frac{\gamma t}{2}} \left[\left(\frac{\gamma^2}{4} - \Omega^2 \right) \cos(\Omega t + \phi) + \Omega \gamma \sin(\Omega t + \phi) \right]$$

en reportant dans l'équation différentielle :

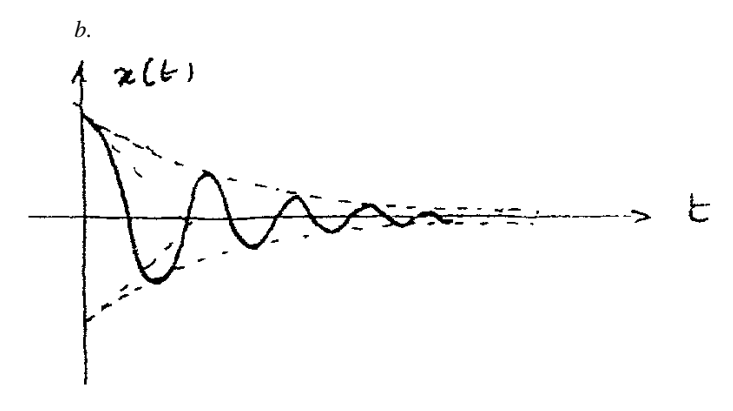
$$\begin{split} A \, e^{-\frac{\gamma t}{2}} & \left[\left(\frac{\gamma^2}{4} - \Omega^2 \right) \! \cos \left(\Omega t + \phi \right) + \Omega \, \gamma \sin \left(\Omega t + \phi \right) \right. \\ & \left. - \frac{\gamma^2}{2} \cos \left(\Omega t + \phi \right) - \Omega \, \gamma \sin \left(\Omega t + \phi \right) \right. \\ & \left. + \omega_0^2 \cos \left(\Omega t + \phi \right) \right] = 0 \\ & \left. + \omega_0^2 \cos \left(\Omega t + \phi \right) \right] = 0 \\ & \left. \det \left[\sin \left(\Omega t + \phi \right) \right] \left[- \frac{\gamma^2}{4} - \Omega^2 + \omega_0^2 \right] = 0 \\ & \left. \det \left[\Omega^2 = \omega_0^2 - \frac{\gamma^2}{4} \right] \right] \end{split}$$

b. Utilisons les conditions initiales :

$$\begin{cases} x(0) = x_0 = A \cos \phi \\ \dot{x}(0) = A \left(-\frac{\gamma}{2} \cos \phi - \Omega \sin \phi \right) = 0 \end{cases} \quad \text{tan } \phi = -\frac{\gamma}{2\Omega}$$

6. *a*. Si
$$\omega_0 >> \gamma$$
: $\Omega \approx \omega_0$ au deuxième ordre près en $\frac{\gamma}{\omega_0}$
$$\tan \varphi = -\frac{\gamma}{2\sqrt{{\omega_0}^2 - \frac{\gamma^2}{2}}} \qquad \text{donc tg } \varphi \approx \frac{\gamma}{-2\omega_0}$$

 ϕ est petit, donc $\cos\phi\approx 1$ au deuxième ordre près $x_0=A\cos\phi\Rightarrow A\approx x_0 \text{ et } x(t)\approx x_0 e^{-\frac{\gamma\,t}{2}}\cos\omega_0\,t.$



D'après 5.a.
$$\dot{x} = A e^{-\frac{\gamma t}{2}} \left[-\frac{\gamma}{2} \cos{(\Omega t + \phi)} - \Omega \sin{(\Omega t + \phi)} \right]$$

$$avec \gamma << \omega_0 \quad \dot{x} \approx x_0 e^{-\frac{\gamma t}{2}} \left[-\frac{\gamma}{2} \cos{\omega_0 t} - \omega_0 \sin{(\omega_0 t)} \right]$$

$$\dot{x}(t) \approx -x_0 \omega_0 e^{\frac{-\gamma t}{2}} \sin{\omega_0 t}$$

$$W = \frac{1}{2} m\omega_0^2 x^2 + \frac{1}{2} m \dot{x}^2 = \frac{1}{2} m\omega_0^2 x_0^2 e^{-\gamma t} \left(\cos^2{\omega_0 t} + \sin^2{\omega_0 t} \right)$$
énergie énergie einétique
$$W = \frac{1}{2} m\omega_0 x_0^2 e^{-\gamma t} = W_0 e^{-\gamma t}.$$

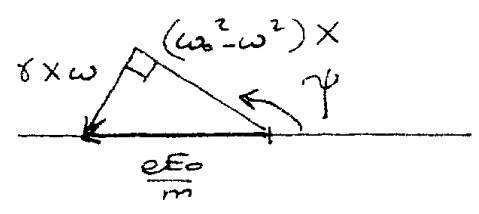
d. $\gamma = \frac{1}{\tau}$ $\gamma << \omega_0$ oscillations faiblement amorties

C. Action d'une onde sinusoïdale sur un matériau

1.
$$m\ddot{x} = -m\omega_0^2 x - m \gamma \dot{x} - e E_0 \cos \omega t$$

$$\ddot{x} + \gamma \dot{x} + \omega_0^2 x = -\frac{eE_0}{m} \cos \omega t$$

2.
$$a$$
. $x(t) = X \cos(\omega t + \psi), \ \ddot{x} = -\omega^2 x$ donc: $\ddot{x} + \omega_0^2 x = (\omega_0^2 - \omega^2) X \cos(\omega t + \psi)$ de plus: $\gamma \dot{x} = -\gamma X \omega \sin(\omega t + \psi) = \gamma X \omega \cos\left(\omega t + \psi + \frac{\pi}{2}\right)$ d'où le schéma pour $\omega > \omega_0$



$$donc: \quad \left(\frac{e \; E_0}{m}\right)^2 = X^2 \left((\omega_0^{\; 2} - \omega^2)^2 + (\gamma \omega)^2\right)$$

$$X(\omega) = \frac{e \; E_0}{m} \; g(\omega) \qquad g(\omega) = \frac{1}{\sqrt{\left(\omega_0^{\; 2} - \omega^2\right)^2 + \gamma^2 \; \omega^2}} \; . \label{eq:X_delta_delta_eq}$$

b.
$$\sin(\pi - \psi) = \sin \psi = \frac{\gamma X \omega}{\frac{e E_0}{m}} \quad \boxed{\sin \psi = \gamma \omega g(\omega)}$$

$$\cos\left(\pi - \psi\right) = -\cos\psi = \frac{\left(\omega_0^2 - \omega^2\right)X}{\frac{e \ E_0}{m}} \quad \boxed{\cos\psi = \left(\omega^2 - {\omega_0}^2\right)g(\omega)}$$

3.
$$a.$$
 $x(t) = X \cos(\omega t + \psi) = X \left[\cos \omega t \cos \psi - \sin \omega t \sin \psi\right]$

$$= \frac{e E_0}{m} \left\{ (\omega^2 - \omega_0^2) g(\omega)^2 \cos \omega t - \gamma \omega g(\omega)^2 \sin \omega t \right\}$$

$$de \text{ la forme} : -E_0 (X'(\omega) \cos \omega t - X''(\omega) \sin \omega t)$$

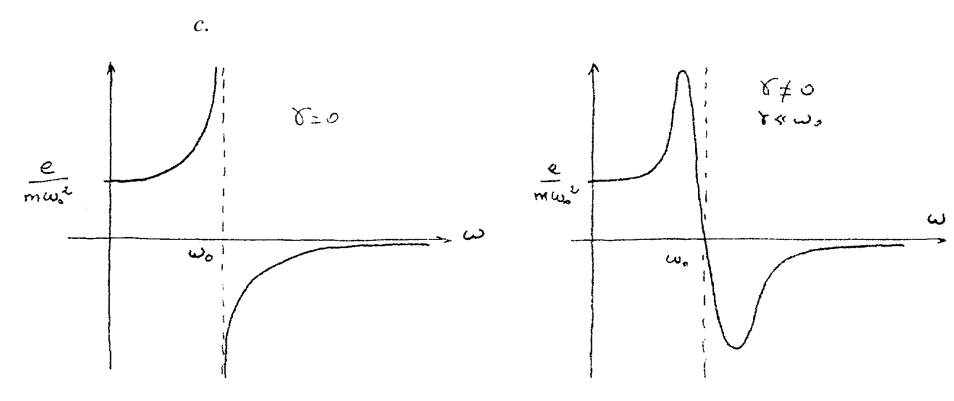
$$avec : X'(\omega) = \frac{e}{m} \left(\omega_0^2 - \omega^2\right) g(\omega)^2 = \frac{e}{m} \frac{\omega_0^2 - \omega^2}{\left(\omega_0^2 - \omega^2\right)^2 + \gamma^2 \omega^2}$$

$$X''(\omega) = -\frac{e}{m} \gamma \omega g(\omega)^2 = -\frac{e}{m} \frac{\gamma \omega}{\left(\omega_0^2 - \omega^2\right)^2 + \gamma^2 \omega^2}$$

$$X''(\omega) = 0.$$

b. $\gamma = 0$ correspondrait à un oscillateur non amorti.

$$X'(\omega) = \frac{e}{m} \frac{1}{\omega_0^2 - \omega^2}$$



d. Expression approchée de X'(ω) pour $|\omega - \omega_0| >> \gamma$

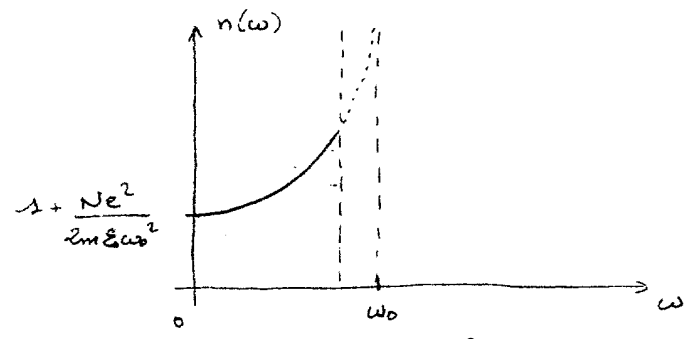
Si
$$|\omega - \omega_0| >> \gamma$$
 $X'(\omega) \approx \frac{e}{m} \frac{1}{\omega_0^2 - \omega^2}$

D. Indice de réfraction

1.
$$v = \frac{c}{n}.$$

2. $n(\omega)$: dispersion - déviation de la lumière blanche par un prisme.

3.
$$n(\omega)=1+\frac{eN}{2\,\epsilon_0}\,X'(\omega)=1+\frac{Ne^2}{2m\epsilon_0}\,\,\frac{1}{{\omega_0}^2-\omega^2}$$



n augmente quand ω augmente or : $ω = \frac{2πc}{λ}$

- n diminue quand λ augmente.
- le bleu est plus dévié que le rouge et la déviation augmente avec n. Le modèle décrit ce comportement.

II. L'EFFET KERR OPTIQUE : UN EFFET NON LINÉAIRE

1.
$$m\ddot{x}=-\,m\omega_0^2\,x-m\,D\,x^3-e\,E_0\cos\omega t$$

$$\ddot{x}+\omega_0^2\,x+D\,x^3=-\,\frac{e\,E_0}{m}\cos\omega t\,\,\text{en n\'egligeant le freinage de rayonnement.}$$

2.
$$\begin{aligned} x_l & \text{ v\'erifie } & \ddot{x_l} + {\omega_0}^2 \, x_l = -\frac{e \; E_0}{m} \cos \omega \; t \quad D = 0 \\ & x = x_l + x_{nl} & \text{donc } & \ddot{x}_{nl} + {\omega_0}^2 \, x_{nl} + D \left(x_{nl} + x_l \right)^3 = 0. \end{aligned}$$

3. En supposant : $x_{nl} \ll x_l$

$$\ddot{x}_{n1} + \omega_0^2 x_{n1} = -D x_1^3$$

d'après l'étude du C, pour $\gamma = 0$ $x_1(t) = -E_0X'(\omega) \cos \omega t$

avec : X' (
$$\omega$$
) = $\frac{e}{m} \frac{1}{\omega_0^2 - \omega^2}$ donc $x_1^3 = -E_0^3 X'^3 \cos^3 \omega t$

$$\cos^3 \omega t = \frac{\cos 3 \omega t + 3 \cos \omega t}{4}$$
 $x_1^3 = -\frac{E_0^3 X^{3}}{4} [\cos 3 \omega t + 3 \cos \omega t]$

donc:
$$\ddot{x}_{nl} + \omega_0^2 x_{nl} = \frac{D E_0^3 X^3}{4} \cos 3 \omega t + \frac{3D E_0^3 X^3}{4} \cos \omega t$$

$$B(\omega) = \frac{D E_0^3}{4} [X'(\omega)]^3 \qquad A(\omega) = \frac{3 D E_0^3 [X'(\omega)]^3}{4}$$

4. Cherchons
$$x_{nl_1}(t) = \alpha \cos \omega t$$
 $x_{nl_3}(t) = \beta \cos 3 \omega t$

$$\ddot{x}_{nl_1} + \omega_0^2 x_{nl_1} = A(\omega) \cos \omega t$$
 $\ddot{x}_{nl_3} + \omega_0^2 x_{nl_3} = B(\omega) \cos 3 \omega t$

donc:
$$\alpha(-\omega^2 + \omega_0^2) = A(\omega) \qquad \left(-(3\omega)^2 + \omega_0^2\right)\beta = B(\omega)$$

$$x_{nl_1}(t) = \frac{A(\omega)}{{\omega_0}^2 - \omega^2} \cos \omega t \qquad x_{nl_3}(t) = \frac{B(\omega)}{{\omega_0}^2 - 9\omega^2} \cos 3 \omega t.$$

5. Les atomes peuvent rayonner ω (linéaire) et 3ω (effet non-linéaire).

6.
$$x = x_1 + x_{nl_1} = \left(-E_0 X' + \frac{3 D E_0^3}{\omega_0^2 - \omega^2} X'^3 \right) \cos \omega t$$

$$x = -E_0 X' \left(1 - \frac{3 D E_0^2 X'^2}{4 \left(\omega_0^2 - \omega^2 \right)} \right) \cos \omega t$$

de la forme $x = -E_0 X'_{kerr} \cos \omega t$

En comparant à l'étude de I.D. : $n = 1 + \frac{\text{Ne } X'_{kerr}}{2 \epsilon_0}$

$$n = 1 + \frac{NeX'}{2\,\epsilon_0} - \frac{Ne}{2\,\epsilon_0} \,\, \frac{3}{4} \,\, \frac{DX^{'3}}{\omega_0^2 - \omega^2} \, {E_0}^2$$

de la forme $n=n_0+n_2\,I$ si $I \propto {E_0}^2$ dans le domaine considéré $X^{'}>0$ donc $n_2<0$.

III. EFFETS NON LINÉAIRES DANS UNE CAVITÉ OPTIQUE

A. Étude de la transmission de la cavité en intensité

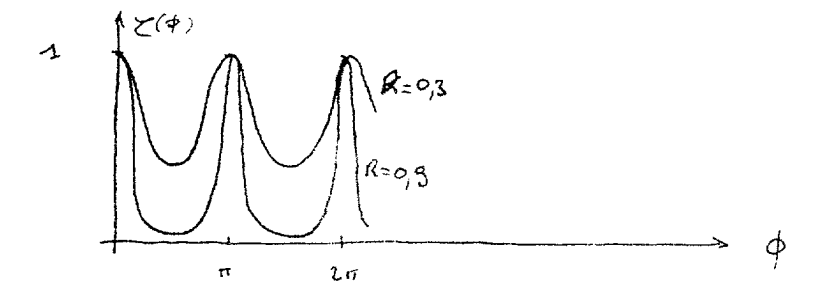
1.
$$\Phi = \frac{2\pi}{\lambda} \, \text{nL} \, .$$

- 2. Il faut qu'au bout d'un aller-retour l'onde soit en phase avec elle-même donc : $2\Phi=2p\pi$ $\Phi=p\pi$ p entier
 - $2\Phi = \frac{4\pi nL}{\lambda_p} = 2p\pi \qquad \lambda_p = \frac{2L}{p} \ \ donnera \ \ un \ \ maximum \ \ de \ transmission.$
- 3. Pour R = 0 K = 0 $R \rightarrow 1$ $K \rightarrow \infty$

R /
$$(1-R)^2 \setminus \text{donc } \frac{1}{(1-R)^2}$$
 / K(R) /

- 4. $\sin^2\Phi$ de période π donc $\tau(\Phi)$ de période π .
 - $\tau(\Phi)$ maximum quand $1 + K \sin^2 \Phi$ minimum donc pour $\Phi = p\pi$ ce qui confirme A-2.

$$\tau_{max} = 1 \qquad \tau_{min} = \frac{1}{1+K}$$



Choix de K:

K doit être grand. Facteur de qualité :

$$Q = \frac{\pi}{\Delta \Phi_{12}} \text{ avec } \frac{1}{1 + K \sin^2 \frac{\Delta \Phi_{12}}{2}} = \frac{1}{2}$$

$$\Delta \Phi_{12} = 2 \text{ Arc } \sin \frac{1}{\sqrt{K}} \approx \frac{2}{\sqrt{K}} \qquad Q = \frac{\pi \sqrt{R}}{1 - R}$$

B. Étude d'une cavité avec un milieu présentant de l'effet Kerr optique

 Il existe une onde quasi-stationnaire à l'intérieur de la cavité donc I(x).

$$\begin{split} \text{Pour une tranche dx} & \quad d\Phi = n \; dx. \; \frac{2\pi}{\lambda} = (n_0 + n_2 \; I(x)). \; \frac{2\pi}{\lambda} \; dx \\ \Phi = \int_0^L \frac{2\pi n_0}{\lambda} \, dx + \frac{2\pi}{\lambda} \, n_2 \int_0^L I(x) \; dx = \frac{2\pi n_0 L}{\lambda} + \frac{2\pi n_2 L}{\lambda} \, \frac{1}{L} \int_0^L I(x) \; dx \\ \text{donc} : \quad \Phi = \Phi_0 + \frac{2\pi n_2 L}{\lambda} \, I_m = \Phi_0 + \frac{2\pi n_2 L}{\lambda \beta} \, I_s \quad (I_s = \beta I_m) \\ \Phi = \Phi_0 + \gamma \, I_s \quad \Phi_0 = \frac{2\pi n_0 L}{\lambda} \quad \gamma = \frac{2\pi n_2 L}{\lambda \beta} \; . \end{split}$$

2. D'après ce qui précède $I_s = \frac{\Phi - \Phi_0}{\gamma} = \tau I_e$ donc : $\tau = \frac{\Phi - \Phi_0}{\gamma I_e}$ droite de pente : $\frac{1}{\gamma I_e}$ (droite D) ; par ailleurs τ est donné par : $\tau(\Phi) = \frac{1}{1 + K \sin^2 \Phi}$ (courbe C)

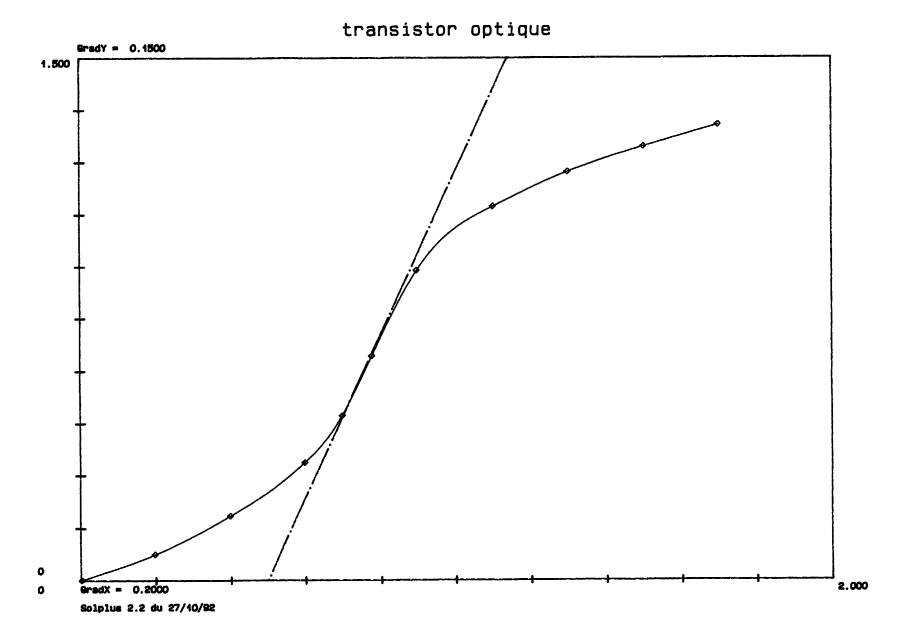
τ donné par l'intersection.

C. Transistor optique et mémoire optique

I _e (kW.cm ⁻²)	0,2	0,4	0,6	0,7	0,8	0,9	1,1	1,3	1,5	1,7
τ	0,425	0,470	0,570	0,665	0,89	0,99	0,97	0,90	0,83	0,77
I _s (kW.cm ⁻²)	0,085	0,188	0,342	0,466	0,712	0,891	1,067	1,17	1,245	1,309

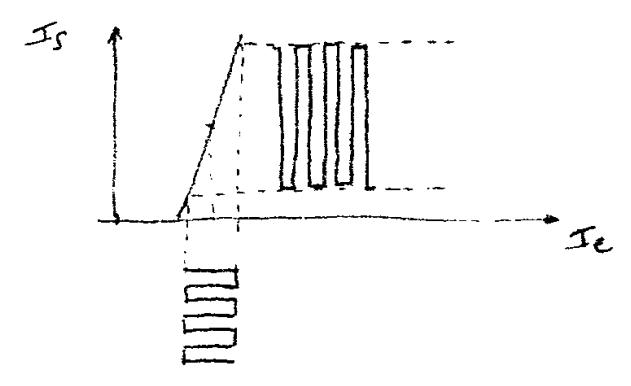
b.

1. a.



2. Graphiquement $I_0 \approx 0.78 \text{ kW.cm}^{-2}$.

3. *a.* Localement, au voisinage de I₀, on peut assimiler la courbe à une droite, tangente à cette courbe au point d'inflexion. La pente de cette droite est supérieure à 1, la partie modulée est amplifiée.



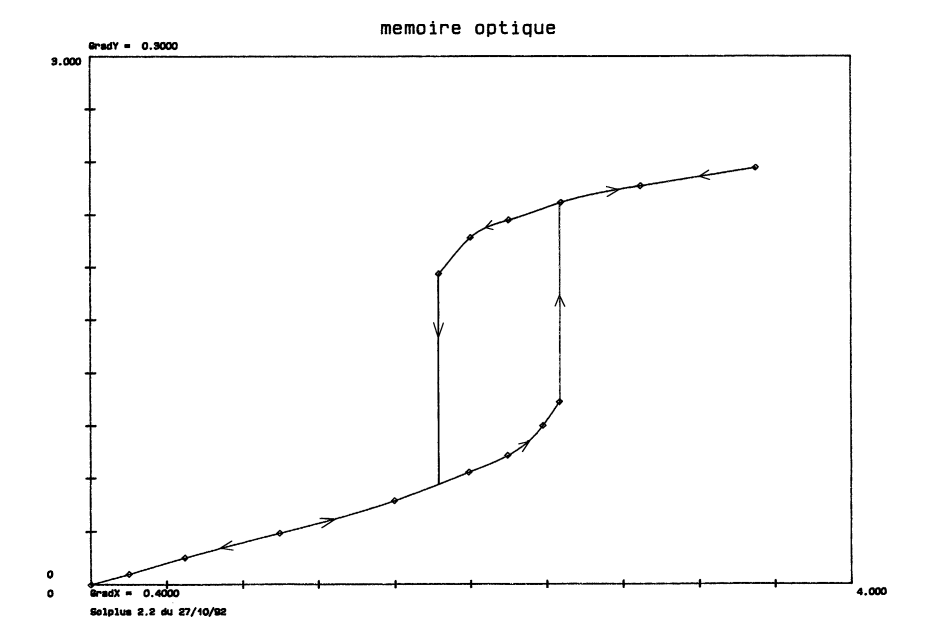
b. Seule la partie modulée est amplifiée. Le système est passif il ne peut jouer le rôle d'amplificateur.

Mémoire optique

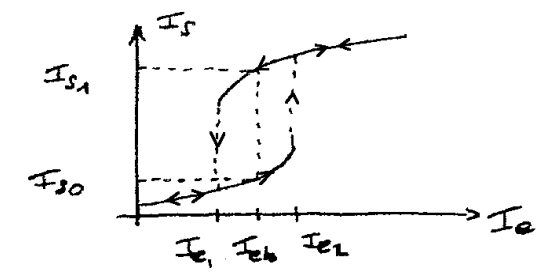
$$1. \ \ I_{e_1} = 1,83 \ kW.cm^{-2} \qquad I_{e_2} = 2,47 \ kW.cm^{-2}.$$

2.

I _e (kW.cm ⁻²)	0,2	0,5	1,0	1,6	I_{e_1}	2,0	2,2	I_{e_2}	2,9	3,5
τ (I _e croissant)	0,31	0,30	0,295	0,30	0,31	0,32	0,33	0,42	0,78	0,675
τ (I _e décroissant)					0,965	0,985	0,94	0,87		
I _s (kW.cm ⁻²) I _e (croissant)	0,062	0,15	0,295	0,48	0,566	0,64	0,726	1,037	2,26	2,363
I _s (kW.cm ⁻²) I _e (décroissant)					1,761	1,97	2,068	2,149		







 $I_s=I_{s_0}$, pour basculer, il faut franchir I_{e_2} . Au retour le système reste sur la branche du haut en $I_s=I_{s_1}$, pour $I_e=I_{e_b}$ hauteur minimale de l'impulsion :

$$I_{e_2} - I_{e_b} = \frac{I_{e_2} - I_{e_1}}{2}$$
.

b. Un signal d'écriture qui a disparu a laissé une trace, la valeur de I_{s} à $I_{s_{1}}.$

Pour effacer (retour à I_{s_0}) il faut diminuer l'intensité du laser de maintien en-dessous de I_{e_1} puis revenir à I_{e_h} .

c. Temps de commutation, pas de lois des nœuds en optique \to intégration traitement parallèle des données.